

Tartalom

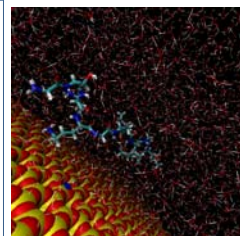
- Molekuladinamika
- Mintavétel molekuladinamikában
- Termodinamikai mennyiségek számítása az „átalakulási úton”
 - Szabadenergia számítási technikák:
 - Termodinamikai integrálás
 - Szabadenergia perturbáció
 - Átlagos erő potenciálja
 - Nem egyensúlyi munka
 - Standard szabadenergia
 - Entalpia és entrópia
 - Példák



2

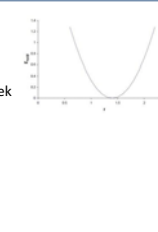
Molekuladinamika (MD)

- Kapcsolat mikroszkopikus és makroszkopikus mennyiségek között
 - atomok mozgását szimuláljuk
 - mintát veszünk
 - nyomás, hőmérséklet, szabadenergia,... számítható



Klasszikus molekula dinamika:

- atomok közötti potenciál $E_{MM} = E_{\text{kötés}} + E_{\text{szög}} + E_{\text{torz}} + E_{\text{vdw}} + E_{\text{elek}}$
- atomok sebességei
- Newton mozgásegyenletei: $-\frac{dU}{dr} = m \frac{d^2r}{dt^2}$



3

Szabadenergia - Mintavétel

$$F = -kT \ln \left[h^{-3N} \iint \exp \left(-\frac{E(r,p)}{kT} \right) dp dr \right] \quad (1) \text{ szabadenergia képlete}$$

Szabadenergia számítása MD mintavétellel nehéz
(1)-ben fázistér nem teljes : integrál pozitív; In függvény monoton nő
-> negatív hozzájárulás hiányzik -> F túlbecsült

4

Szabadenergia - Mintavétel

$$F = -kT \ln \left[h^{-3N} \iint \exp\left(-\frac{E}{kT}\right) dpdr \right] \quad (1) \text{ Szabadenergia képlete}$$

$$F = -kT \ln \left[\int \exp\left(-\frac{E}{kT}\right) dr \right] + \left(\begin{array}{l} \text{ideális gáz} \\ \text{kinetikus energia} \end{array} \right) \quad (2) \text{ Impulzus szerint integrálva}$$

$$F' = -kT \ln \left[\frac{\int \exp\left(-\frac{E}{kT}\right) dr}{\int \exp\left(-\frac{E}{kT}\right) \exp\left(+\frac{E}{kT}\right) dr} \right] \quad (3) \text{ Tér fogati integrállal osztva}$$

$$F' = kT \ln \left[\frac{\int \exp\left(+\frac{E}{kT}\right) \exp\left(-\frac{E}{kT}\right) dr}{\int \exp\left(-\frac{E}{kT}\right) dr} \right] = kT \ln \left(\exp\left(\frac{E}{kT}\right) \right) \quad (4) \text{ előző egyenlet várható érték alakban}$$

(4)-ben a nagy energiájú tagok hozzájárulása F-hez számottevő, de mintavételének valószínűsége kicsi

5

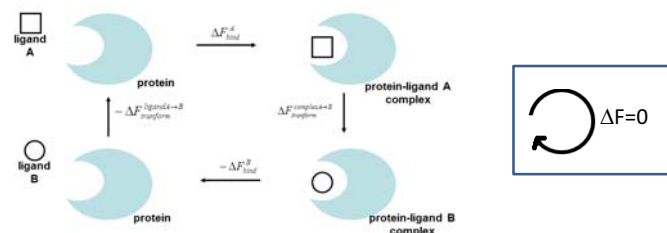
Szabadenergia - Mintavétel

Idő skála (s)	Amplitúdó (Å)	Jellemzés	MD lépésszám (lépés ~ fs)
$10^{-15}-10^{-12}$	0.001-0.1	kötés megnyúlás, kötesszög torzulás	1-1000
$10^{-12}-10^{-9}$	0.1-10	fehérje oldallánc, hurok, kollektív mozgások	10^3-10^6
$10^{-9}-10^{-6}$	1-100	kisméretű fehérjék feltekeredése;	10^6-10^9
$10^{-6}-10^{-1}$	10-100	fehérje feltekeredés, ligandum-fehérje kötődés	10^9-10^{14}

6

Szabadenergia különbség

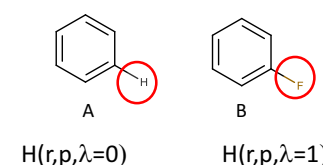
- A mintavételezés részlegessége nehezíti F és $\Delta F = F_B - F_A$ számítását
- Hasonló rendszerek $\Delta F = F_B - F_A$ (A hasonló B-hez) számítására speciális technikák (lásd később)
- Termodinamikai ciklus: 2 hasonló ligandum kötődési szabadenergia különbségének ($\Delta\Delta F$) számítását visszavezeti hasonló rendszerek szabadenergia különbségének számítására



- $-\Delta F(A)_{bind} - \Delta F(B)_{bind} = \Delta F(cmplx)_{tr} - \Delta F(ligand)_{tr}$
- „alkímiai” transzformációk: $\Delta F(cmplx)_{tr}$ és $\Delta F(ligand)_{tr}$
 - 2 transzformáció $\Delta\Delta F$ számításához

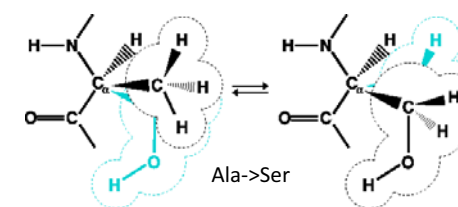
7

Alkímiai transzformáció - csatolási paraméter



$$H_\lambda = H(r,p,\lambda) = (1-\lambda) H_A + \lambda H_B$$

λ – csatolás paraméter
 H_λ λ -nak más függvénye is lehet
 H_A, H_B is függhet λ -tól



<http://www.ks.uiuc.edu/Research/namd/2.6/ug/node36.html>

8

MD technikák ΔF számítására

- Termodinamikai integrálás (TI)
- Szabadenergia perturbáció (FEP)
- Átlagos erő potenciálja (PMF)
- Nem egyensúlyi munka (Jarzynski egyenlet)

9

Termodinamikai integrálás

$$\Delta F = F_B - F_A = F(\lambda=1) - F(\lambda=0) = \int_{\lambda=0}^{\lambda=1} F'(\lambda) d\lambda$$

$$F' = \frac{d}{d\lambda} [-kT \ln Z(\lambda)] = \left\langle \frac{\partial E}{\partial \lambda} \right\rangle$$

$$F' = \left\langle \frac{\partial E}{\partial \lambda} \right\rangle \rightarrow \frac{dF(x, \lambda)}{d\lambda} = \frac{d}{d\lambda} \left(-kT \ln \int e^{-\frac{E(x, \lambda)}{kT}} dx \right)$$

$$= -kT \frac{1}{\int e^{-\frac{E(x, \lambda)}{kT}} dx} \int e^{-\frac{E(x, \lambda)}{kT}} \left(-\frac{1}{kT} \frac{dE(x, \lambda)}{d\lambda} \right) dx = \left\langle \frac{dE(x, \lambda)}{d\lambda} \right\rangle$$

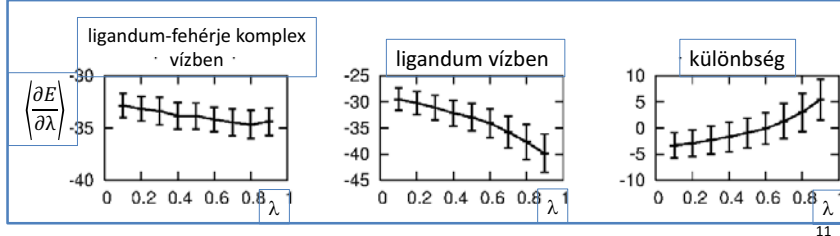
Pl.: $E(x, \lambda) = (1-\lambda) E_A(x) + \lambda E_B(x);$
 $dE/d\lambda = E_B - E_A$

10

Termodinamikai integrálás

- Megvalósítás
 1. λ időben változik
 2. Szimuláció különböző rögzített λ értékeknél
 - $\left\langle \frac{\partial E}{\partial \lambda} \right\rangle$ kiszámítása
 - T.f.: $\frac{\partial E}{\partial \lambda} = E_B - E_A \rightarrow \langle E_B - E_A \rangle_\lambda$ λ -tól függ; általában bonyolultabb $\frac{\partial E}{\partial \lambda}$
 - Numerikus integrálás – „sim” $F(\lambda)$ szükséges

$$\Delta F = \int_{\lambda=0}^{\lambda=1} \left\langle \frac{\partial E}{\partial \lambda} \right\rangle_\lambda d\lambda$$



11

Szabadenergia perturbáció

$$F = -kT \ln \left[\int \exp \left(-\frac{E}{kT} \right) dr \right] \quad (1) \text{ szabadenergia képlete}$$

$$F_B - F_A = -kT \ln \left[\frac{\int \exp \left(-\frac{E_B}{kT} \right) dr}{\int \exp \left(-\frac{E_A}{kT} \right) dr} \right] \quad (2) \text{ két rendszer szabadenergia különbsége}$$

$$F_B - F_A = -kT \ln \left[\frac{\int \exp \left(-\frac{E_A}{kT} \right) \exp \left(\frac{E_A}{kT} \right) \exp \left(-\frac{E_B}{kT} \right) dr}{\int \exp \left(-\frac{E_A}{kT} \right) dr} \right] \quad (3) 1 = \exp \left(-\frac{E_A}{kT} \right) \exp \left(\frac{E_A}{kT} \right)$$

$$F_B - F_A = -kT \ln \left[\frac{\int \exp \left(-\frac{E_A}{kT} \right) \exp \left(-\frac{\Delta E}{kT} \right) dr}{\int \exp \left(-\frac{E_A}{kT} \right) dr} \right] \quad (4) \Delta E = E_B - E_A$$

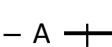
$$F_B - F_A = -kT \ln \left[\left| \exp \left(-\frac{\Delta E}{kT} \right) \right|_A \right] \quad (5) \text{ előző kifejezés várható érték alakban}$$

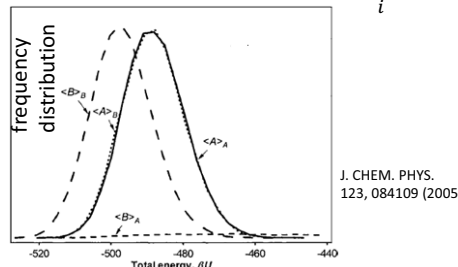
12

Szabadenergia perturbáció

$$\Delta F = -kT \ln \left(\exp \left(-\frac{E_B - E_A}{kT} \right) \right)_A$$

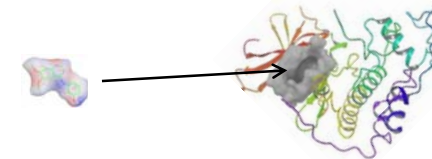
- $A \rightarrow B$ több szakaszra osztható (osztandó)

– A két állapot konfigurációs tere átvedjen
 – A  $\Delta F = \sum_i -kT \ln \left(\exp \left(-\frac{E(\lambda_{i+1}) - E(\lambda_i)}{kT} \right) \right)_{\lambda_i}$



13

Átlagos erő potenciálja (PMF)



x – intermolekuláris koordináták
y – intramolekuláris koordináták

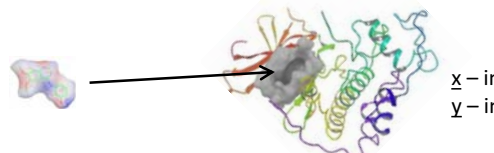
$$F = -RT \ln \left[\int \exp \left(-\frac{E(x, y)}{RT} \right) d\underline{x} dy \right] \quad \text{szabadenergia}$$

$$F(\underline{x}) = -RT \ln \left[\int \exp \left(-\frac{E(x, y)}{RT} \right) dy \right] \quad \text{átlagos erő potenciálja}$$

$$\frac{dF(\underline{x})}{d\underline{x}} = \frac{\int \frac{dE(x, y)}{dy} e^{-\frac{E(x, y)}{RT}} dy}{\int e^{-\frac{E(x, y)}{RT}} dy} = -\langle \varphi(\underline{x}) \rangle_y \quad F - \text{potenciál}; \varphi - \text{erő}$$

14

Átlagos erő potenciálja (PMF)



x – intermolekuláris koordináták
y – intramolekuláris koordináták

$$P(\underline{x}) = \int P(\underline{x}, \underline{y}) dy = \frac{\int e^{-\frac{E(\underline{x}, \underline{y})}{RT}} dy}{\int e^{-\frac{E(\underline{x}, \underline{y})}{RT}} dx dy} = \frac{e^{-\frac{F(\underline{x})}{RT}}}{\int e^{-\frac{E(\underline{x}, \underline{y})}{RT}} dx dy} \quad P(\underline{x}) - \underline{x} \text{ valószínűsége}$$

$$F(\underline{x}) - F_{Ref} = -RT \ln \frac{P(\underline{x})}{P(Ref)}$$

15

Számítás:

1. $\langle \varphi(\underline{x}) \rangle$ számítása rögzített \underline{x} -k mentén

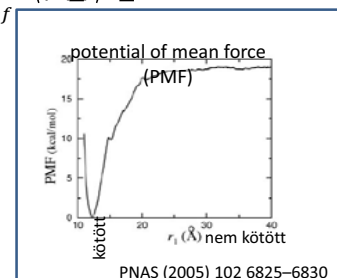
$$F(x') - F(\text{ref}) = \int_{\text{ref}}^{x'} \frac{dF(\underline{x})}{d\underline{x}} d\underline{x} = \int_{\text{ref}}^{x'} -\langle \varphi(\underline{x}) \rangle dx$$

2. $P(\underline{x})$ számítása \underline{x} mentén

$$F(\underline{x}) - F_{Ref} = -RT \ln \frac{P(\underline{x})}{P(\text{Ref})}$$

$$F(\underline{x}) = -RT \ln P(\underline{x}) + \text{konst.}$$

Alkalmas mintavétel szükséges!



16

Nem egyensúlyi munka

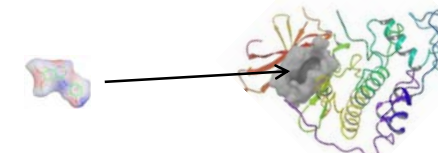
$$\Delta F = F_2 - F_1 = -kT \ln \left\langle \exp \left(-\frac{W}{kT} \right) \right\rangle \quad (\text{Jarzynski})$$

- Nem egyensúlyi úton végzett munkából (W) számolt várható érték
- Gyors transzformáció is lehetséges a két állapot között
- Mintavételezési probléma
- Jelenlegi eljárások nem hatékonyabbak, mint az egyensúlyi módszerek

17

Standard kötődési szabadentalpia számítás - 1

- $\text{LP} \leftrightarrow \text{L} + \text{P}$
- ΔG (nem $\Delta\Delta G$) számítás
 - Ligandum tényleges kötődési folyamata

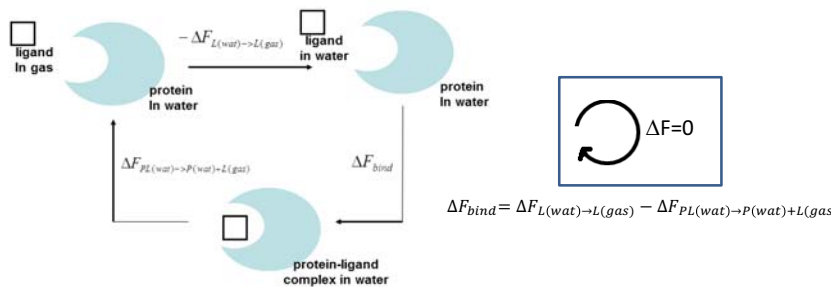


– λ reakciókoordináta mentén: átlagos erő potenciálja (PMF)

18

Standard kötődési szabadentalpia számítás - 2

- $\text{LP} \leftrightarrow \text{L} + \text{P}$
 - Kettős lecsatolás („double decoupling”); L nem hat kölcsön a környezetével



– TI vagy FEP

$$\Delta F = \int_{\lambda=0}^{\lambda=1} \left(\frac{\partial E}{\partial \lambda} \right) d\lambda \quad \Delta F = \sum_i -kT \ln \left\langle \exp \left(-\frac{E(\lambda_{i+1}) - E(\lambda_i)}{kT} \right) \right\rangle_{\lambda_i}$$

19

Entalpia és entrópia számítása

- ΔF számítható hasonló rendszerek energiakülönbsége várható értékéből
 - v.ö. TI és FEP
- $\Delta H, T\Delta S$ a végállapotok állapotfüggvényei várható értékének különbségéből számítható
- $\Delta H, T\Delta S$ számítása több nagyságrenddel pontatlanabb, mint ΔF számítása

20

Példa – FKBP12-ligandum

Standard kötődési szabálytalpia
Kettős lecsatolás
FEP
Energia komponensek is

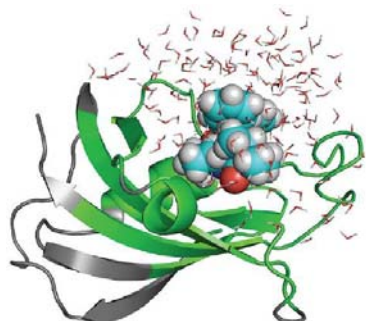


Figure 4. FKBP12 bound with ligand #8 studied previously.^{40,42} The gray parts are treated as a mean-field approximation with generalized solvent boundary potential.⁴⁰ See ref 42 for computational details.

$\Delta\Delta G_{\text{rep}}$	$\Delta\Delta G_{\text{dis}}$	$\Delta\Delta G_{\text{elec}}$	$\Delta\Delta G_c$	$\Delta\Delta G_t^\circ$	$\Delta\Delta G_r^\circ$	$\Delta G_{\text{bind}}^\circ$	exptl
-1.1	-21.1	-3.7	6.9	3.4	5.4	-10.2	-10.9

konf transz rot

21
J. Phys. Chem. B 2009, 113, 2234

Példa – kötődés lizozimhez

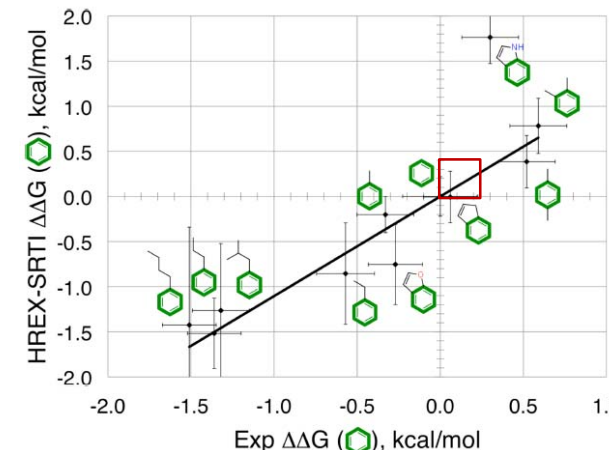
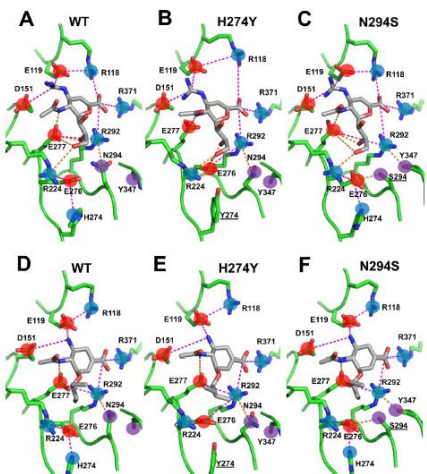


Figure 6. Comparison of the HREX-SRTI relative binding free energy predictions to experiment

J. Chem. Theor. Comput. 2011, 7 3001

22

Példa – neuraminidáz gátlók 1



- 2 ligandum
- 3 fehérje: vad típus + 2 mutáns

Figure 2. Representative structures for zanamivir (A, B and C) and oseltamivir (D, E and F) bound to WT and mutant NAs from the SRSM/HREX simulations. Salt bridges and hydrogen bonds are depicted as magenta and orange dashed lines, respectively. Positively charged, negatively charged and uncharged polar groups are noted as blue, red, and purple circles, respectively, and residues of interest are labeled. Mutated residues are underlined.
doi:10.1371/journal.pcbi.1002665.g002

PLOS Comp Biol 2012, 8 e1002665

23

Példa – neuraminidáz gátlók 2

Table 1. Comparison of experimental $\Delta\Delta G$ in oseltamivir and zanamivir for three NA mutations with estimates obtained using different computational approaches.

Method	H274Y		N294S		Y252H		RMSE (RMSD), kcal/mol
	$\Delta\Delta G$, kcal/mol		$\Delta\Delta G$, kcal/mol		$\Delta\Delta G$, kcal/mol		
Experimental ^a	0.4 (0.1)	3.3 (0.2) ^b	1.2 (0.1) ^b	2.6 (0.2) ^b	0.1 (0.2)	-1.4 (0.1)	N/A (0.2)
SRMM	-5.8 (7.4)	0.7 (7.0)	8.2 (7.7)	5.8 (6.2)	-0.1 (8.7)	-0.9 (7.4)	4.2 (7.4)
SRSM	1.7 (2.9)	1.2 (3.0)	0.6 (2.0)	1.7 (1.9)	1.5 (1.7)	0.5 (1.5)	1.5 (2.2)
SRSM/HREX	1.3 (0.8)	4.1 (2.4)	2.3 (0.4)	2.2 (0.9)	0.6 (0.8)	0.7 (1.4)	1.1 (1.1)
MM-GBSA	6.2 (8.1)	0.9 (3.8)	5.7 (6.1)	-5.9 (3.6)	2.1 (2.9)	-1.9 (3.0)	4.8 (4.6)
MM-PBSA	8.4 (10.1)	3.0 (3.9)	5.8 (4.5)	-4.7 (3.2)	2.8 (3.1)	0.2 (2.6)	5.0 (4.6)
QoBERTA	-0.4 (0.5)	0.8 (0.4)	-0.4 (0.3)	0.3 (0.2)	-0.1 (0.4)	0.0 (0.0)	1.7 (0.3)

^aValues were derived from the data reported by Collins et al [10].

Standard deviations are shown in parentheses. Root mean squared error (RMSE) and the RMS Standard Deviation (RMSD) are provided.

^bIndicates experimentally determined drug resistant mutation. 'N/A' stands for not applicable.

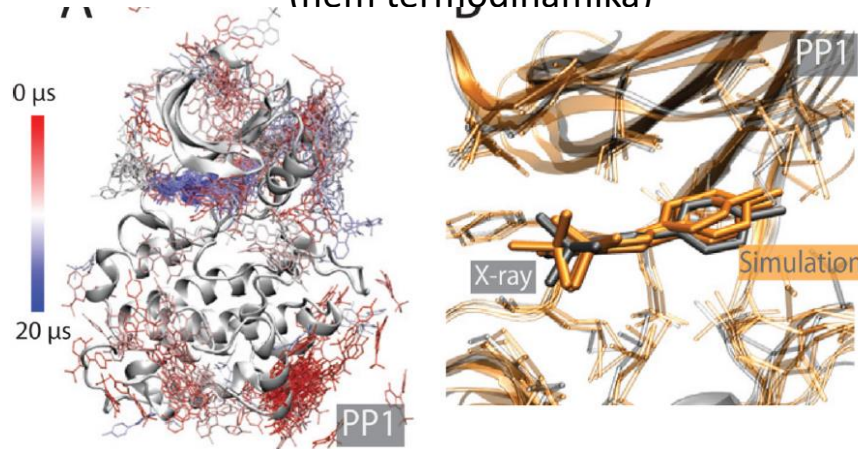
doi:10.1371/journal.pcbi.1002665.t001

PLOS Comp Biol 2012, 8 e1002665

- $\Delta\Delta G$; TI
- Vad típus/mutáns
- Kísérleti/számított
- Standard deviáció is
- Kísérleti és számított $\Delta\Delta G$ különbség esetenként nagyobb mint stan. dev.

24

Példa – ligandum kötés folyamata (nem termodynamika)



PP1 molekula 15 μ s szimuláció alatt megtalálja a Src kináz kötőzsebét

JACS 2011 133 9181

25

Összefoglalás

- Fehérje-ligandum kölcsönhatás számítógépes modellezése – 1. rész
 - MD alapú módszerek - potenciálisan pontosak
 - Legfőbb nehézség: mintavétel
 - $\Delta\Delta F$ ($\Delta\Delta G$) számítása hatékony; „Alkímiai” transzformációk
 - Technikák ΔF számítására (hasonló állapotok között)
 - Termodinamikai integrálás
 - Szabadenergia perturbáció
 - Átlagos erő potenciálja
 - Nem egyensúlyi munka
 - Standard kötődési szabadtalpia is számítható
 - Entalpia és entrópia változás számítása fokozottan pontatlan
 - Nem rutinszerű alkalmazás; változó pontosság

26